

PROVINCIA DI MATERA

INTERVENTO DI SISTEMAZIONE FRANE AL KM
139,200 DELLA S.P. EX S.S. 103 E AL KM 0,800
DELLA S.P. 79 STIGLIANO-GANNANO

PROGETTO UNIFICATO (DEFINITIVO/ESECUTIVO)

Data:	GIUGNO 2022	1° AGGIORNAMENTO:	2° AGGIORNAMENTO:
Codice elaborato 4.4.1		Scala	
PROGETTO DELLE STRUTTURE			
RELAZIONE DI SINTESI MURO SU PALI			
S.P. 79 STIGLIANO-GANNANO KM 0,800			

Il Progettista Ing. Francesco DURSO	Il Responsabile del Procedimento Ing. Ignazio OLIVERI
--	--



Relazione di sintesi

La presente relazione assume la finalità di illustrare le scelte tecniche e progettuali assunte per la predisposizione del calcolo strutturale del muro su pali ubicato a valle della strada provincia n. 79 Stigliano Gannano km 0,800, previsto nell'ambito del progetto definitivo dei lavori di **“Intervento di sistemazione frane al km 139,200 della S.P. ex SS 103 e al km 0,800 della S.P. 79 Stigliano-Gannano”**.

Il muro in calcestruzzo cementizio armato in opera avrà fondazione indiretta su pali trivellati di “grande diametro”, articolato in tre conci elementari, identificati da 1 a 3, dotati di giunto tecnico planimetrico ed è caratterizzato geometricamente nel modo seguente:

- Lunghezza dei conci 1 e 3 pari a ml 12,00;
- Lunghezza del concio 2 pari a ml 14,00;
- Larghezza del giunto tecnico pari a 0,10 ml;
- Altezza del paramento di elevazione pari a ml 2,00 ml;
- Spessore del paramento di elevazione in testa pari a 0,30 ml;
- Spessore del paramento di elevazione al piede pari a 0,50 ml;
- Larghezza complessiva della fondazione pari a 3,20 ml;
- Larghezza mensola di monte e di valle pari a 1,35 ml;
- Spessore della fondazione a valle pari a 1,00 ml;
- Spessore della fondazione a monte pari a ml 1,00 ml;
- Diametro dei pali \varnothing 800 mm;
- Disposizione dei pali su due file sfalsati ad interasse di 2,50 ml;
- Interasse tra le file 1,90 ml;
- Lunghezza dei pali pari a ml 11,25 ml.

Normative di riferimento

- Legge nr. 1086 del 05/11/1971.
Norme per la disciplina delle opere in conglomerato cementizio, normale e precompresso ed a struttura metallica.
- Legge nr. 64 del 02/02/1974.
Provvedimenti per le costruzioni con particolari prescrizioni per le zone sismiche.
- D.M. LL.PP. del 11/03/1988.
Norme tecniche riguardanti le indagini sui terreni e sulle rocce, la stabilità dei pendii naturali e delle scarpate, i criteri generali e le prescrizioni per la progettazione, l'esecuzione e il collaudo delle opere di sostegno delle terre e delle opere di fondazione.
- D.M. LL.PP. del 14/02/1992.
Norme tecniche per l'esecuzione delle opere in cemento armato normale e precompresso e per le strutture metalliche.
- D.M. 9 Gennaio 1996
Norme Tecniche per il calcolo, l'esecuzione ed il collaudo delle strutture in cemento armato normale e precompresso e per le strutture metalliche
- D.M. 16 Gennaio 1996
Norme Tecniche relative ai 'Criteri generali per la verifica di sicurezza delle costruzioni e dei carichi e sovraccarichi'
- D.M. 16 Gennaio 1996
Norme Tecniche per le costruzioni in zone sismiche
- Circolare Ministero LL.PP. 15 Ottobre 1996 N. 252 AA.GG./S.T.C.
Istruzioni per l'applicazione delle Norme Tecniche di cui al D.M. 9 Gennaio 1996
- Circolare Ministero LL.PP. 10 Aprile 1997 N. 65/AA.GG.
Istruzioni per l'applicazione delle Norme Tecniche per le costruzioni in zone sismiche di cui al D.M. 16 Gennaio 1996
- Norme Tecniche per le Costruzioni 2018 (D.M. 17 Gennaio 2018)
- Circolare C.S.LL.PP. 21/01/2019 n.7 - Istruzioni per l'applicazione dell'Aggiornamento delle Norme tecniche per le costruzioni di cui al D.M. 17 gennaio 2018

Dati

Materiali

Simbologia adottata

n°	Indice materiale
Descr	Descrizione del materiale
Calcestruzzo armato	
C	Classe di resistenza del cls
A	Classe di resistenza dell'acciaio
γ	Peso specifico, espresso in [kg/mc]
R_{ck}	Resistenza caratteristica a compressione, espressa in [kg/cm ²]
E	Modulo elastico, espresso in [kg/cm ²]
ν	Coeff. di Poisson
n	Coeff. di omogenizzazione acciaio/cls
ntc	Coeff. di omogenizzazione cls teso/compresso

Calcestruzzo armato

n°	Descr	C	A	γ [kg/mc]	R_{ck} [kg/cm ²]	E [kg/cm ²]	ν	n	ntc
6	C25/30	C25/30	B450C	2500,00	305,91	320666	0.30	15.00	0.50

Acciai

Descr	f_{yk} [kg/cm ²]	f_{uk} [kg/cm ²]
B450C	4588,00	5506,00

Tipologie pali

Simbologia adottata

n°	Indice tipologia palo
Descr	Descrizione tipologia palo
P	Contributo portanza palo (laterale e/o punta)
T	Tecnologia costruttiva (trivellato, infisso o elica continua)
V	Vincolo palo-fondazione: Cerniera o Incastro (libero o impedito di ruotare in testa)
Imat	Indice materiale che lo costituisce
BD	usa metodo di Bustamante-Doix
PN	Portanza nota
Pp, Pl	Portanza di punta e laterale caratteristica, espressa in [kg]

n°	Descr	P	T	V	Imat	BD	PN	Pp	Pl
1	Tipologia 1	Laterale + Punta	Trivellato	Incastro	6	NO	NO	--	--

Geometria profilo terreno a monte del muro

Simbologia adottata

(Sistema di riferimento con origine in testa al muro, ascissa X positiva verso monte, ordinata Y positiva verso l'alto)

n°	numero ordine del punto
X	ascissa del punto espressa in [m]
Y	ordinata del punto espressa in [m]
A	inclinazione del tratto espressa in [°]

n°	X [m]	Y [m]	A [°]
1	0,00	0,00	0.000
2	3,60	0,10	1.591
3	9,60	0,10	0.000
4	10,40	0,10	0.000
5	30,00	0,10	0.000

Inclinazione terreno a valle del muro rispetto all'orizzontale 5.000 [°]

Falda

Simbologia adottata

(Sistema di riferimento con origine in testa al muro, ascissa X positiva verso monte, ordinata Y positiva verso l'alto)

n°	numero ordine del punto
X	ascissa del punto espressa in [m]
Y	ordinata del punto espressa in [m]
A	inclinazione del tratto espressa in [°]

n°	X [m]	Y [m]	A [°]
1	-4,30	-3,50	0.000
2	2,60	-3,30	1.660
3	7,40	-3,00	3.576
4	13,60	-2,70	2.770
5	16,96	-2,40	5.095
6	20,00	-2,10	5.645
7	25,00	-1,80	3.434
8	29,99	-1,50	3.434
9	30,00	-1,50	3.434
10	30,00	-1,50	3.434
11	30,00	-1,50	3.434

Geometria muro
Geometria paramento e fondazione

Lunghezza muro	12,00	[m]
Paramento		
Materiale	C25/30	
Altezza paramento	2,00	[m]
Altezza paramento libero	3,00	[m]
Spessore in sommità	0,30	[m]
Spessore all'attacco con la fondazione	0,50	[m]
Inclinazione paramento esterno	5,80	[°]
Inclinazione paramento interno	0,00	[°]
Fondazione		
Materiale	C25/30	
Lunghezza mensola di valle	1,35	[m]
Lunghezza mensola di monte	1,35	[m]
Lunghezza totale	3,20	[m]
Inclinazione piano di posa	0,00	[°]
Spessore	1,00	[m]
Spessore magrone	0,15	[m]

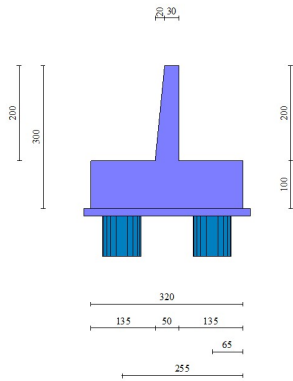


Fig. 1 - Sezione quotata del muro

Descrizione pali di fondazione

Simbologia adottata

n°	numero d'ordine della fila
X	ascissa della fila misurata dallo spigolo di monte della fondazione espressa in [m]
I	interasse tra i pali, espressa in [m]
f	franco laterale (distanza minima dal bordo laterale), espressa in [m]
Np	Numero di pali della fila
D	diametro dei pali della fila espresso in [cm]
L	lunghezza dei pali della fila espressa in [m]
α	inclinazione dei pali della fila rispetto alla verticale espressa in [°]
ALL	allineamento dei pali della fila rispetto al baricentro della fondazione (CENTRATI o SFALSATI)

n°	Tipologia	X [m]	I [m]	f [m]	Np	D [cm]	L [m]	α [°]	ALL
1	Tipologia 1	0,65	2,50	0,50	4	80,00	11,25	0,00	Sfalsati
2	Tipologia 1	2,55	2,50	0,50	5	80,00	11,25	0,00	Centrati

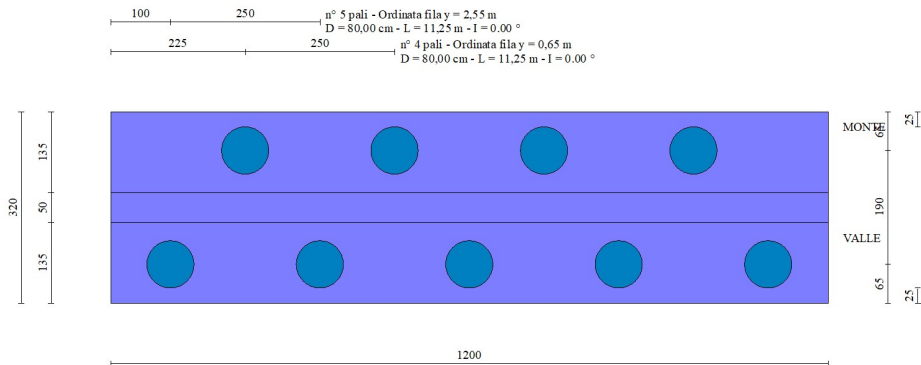


Fig. 2 - Pianta pali

Descrizione terreni

Parametri di resistenza

Simbologia adottata

n°	Indice del terreno
Descr	Descrizione terreno
γ	Peso di volume del terreno espresso in [kg/mc]
γ_s	Peso di volume saturo del terreno espresso in [kg/mc]
ϕ	Angolo d'attrito interno espresso in [°]
δ	Angolo d'attrito terra-muro espresso in [°]
c	Coesione espressa in [kg/cm ²]
c _a	Adesione terra-muro espressa in [kg/cm ²]
Per calcolo portanza con il metodo di Bustamante-Doix	
Cesp	Coeff. di espansione laterale (solo per il metodo di Bustamante-Doix)
τ_l	Tensione tangenziale limite, espressa in [kg/cm ²]

n°	Descr	γ [kg/mc]	γ_{sat} [kg/mc]	ϕ [°]	δ [°]	c [kg/cm ²]	c _a [kg/cm ²]	Cesp	τ_l [kg/cm ²]	
1	Terreno di natura limoso sabbiosa con diffuso ciotolame	1800,00	2200,00	16.000	10.667	0,00	0,00	1.000	0,00	(CAR)
				15.000	10.000	0,00	0,00		0,00	(MIN)
				16.000	10.667	0,00	0,00		0,00	(MED)
2	Arenarie a grane medie e grossolane alternate a marne siltose	1900,00	2000,00	28.000	18.667	0,60	0,30	1.000	0,00	(CAR)
				27.000	18.000	0,50	0,25		0,00	(MIN)
				28.000	18.667	0,60	0,30		0,00	(MED)

Stratigrafia

Simbologia adottata

n°	Indice dello strato
H	Spessore dello strato espresso in [m]
α	Inclinazione espressa in [°]
Terreno	Terreno dello strato
K _{wn} , K _{wt}	Costante di Winkler normale e tangenziale alla superficie espressa in Kg/cm ² /cm
Per calcolo pali (solo se presenti)	
K _w	Costante di Winkler orizzontale espressa in Kg/cm ² /cm
K _s	Coefficiente di spinta
Cesp	Coefficiente di espansione laterale (per tutti i metodi tranne il metodo di Bustamante-Doix)

Per calcolo della spinta con coeff. di spinta definiti (usati solo se attiva l'opzione 'Usa coeff. di spinta da strato')

K_{st_{sta}}, K_{st_{sis}} Coeff. di spinta statico e sismico

n°	H [m]	α [°]	Terreno	K _{wn} [Kg/cm ²]	K _{wt} [Kg/cm ²]	K _w [Kg/cm ²]	K _s	Cesp	K _{st_{sta}}	K _{st_{sis}}
1	4,00	3.000	Terreno di natura limoso sabbiosa con diffuso ciotolame	0.000	0.000	1,000	0,500	1,000	---	---
2	20,00	0.000	Arenarie a grane medie e grossolane alternate a marne siltose	0.000	0.000	3,000	0,530	1,000	---	---

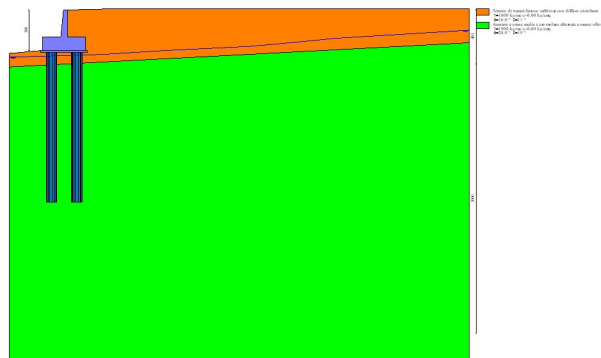


Fig. 3 - Stratigrafia

Condizioni di carico

Simbologia adottata

Carichi verticali positivi verso il basso.

Carichi orizzontali positivi verso sinistra.

Momento positivo senso antiorario.

X	Ascissa del punto di applicazione del carico concentrato espressa in [m]
F _x	Componente orizzontale del carico concentrato espressa in [kg]
F _y	Componente verticale del carico concentrato espressa in [kg]
M	Momento espresso in [kgm]
X _i	Ascissa del punto iniziale del carico ripartito espressa in [m]
X _f	Ascissa del punto finale del carico ripartito espressa in [m]
Q _i	Intensità del carico per x=X _i espressa in [kg]
Q _f	Intensità del carico per x=X _f espressa in [kg]

Condizione n° 1 (Traffico) - VARIABILE TFCoeff. di combinazione $\Psi_0=0.00 - \Psi_1=0.75 - \Psi_2=0.00$ Carichi sul terreno

n°	Tipo	X [m]	Fx [kg]	Fy [kg]	M [kgm]	Xi [m]	Xf [m]	Qi [kg]	Qf [kg]
1	Distribuito					3,60	9,60	2000,00	2000,00



Fig. 4 - Carichi sul terreno

NormativaNormativa usata: **Norme Tecniche sulle Costruzioni 2018 (D.M. 17.01.2018) + Circolare C.S.LL.PP. 21/01/2019 n.7**Coeff. parziali per le azioni o per l'effetto delle azioni

Carichi	Effetto		Combinazioni statiche				Combinazioni sismiche		
			UPL	EQU	A1	A2	EQU	A1	A2
Permanenti strutturali	Favorevoli	$\gamma_{G1,fav}$	0.90	1.00	1.00	1.00	1.00	1.00	1.00
Permanenti strutturali	Sfavorevoli	$\gamma_{G1,sfav}$	1.10	1.30	1.30	1.00	1.00	1.00	1.00
Permanenti non strutturali	Favorevoli	$\gamma_{G2,fav}$	0.80	0.80	0.80	0.80	0.00	0.00	0.00
Permanenti non strutturali	Sfavorevoli	$\gamma_{G2,sfav}$	1.50	1.50	1.50	1.30	1.00	1.00	1.00
Variabili	Favorevoli	$\gamma_{Q,fav}$	0.00	0.00	0.00	0.00	0.00	0.00	0.00
Variabili	Sfavorevoli	$\gamma_{Q,sfav}$	1.50	1.50	1.50	1.30	1.00	1.00	1.00
Variabili da traffico	Favorevoli	$\gamma_{OT,fav}$	0.00	0.00	0.00	0.00	0.00	0.00	0.00
Variabili da traffico	Sfavorevoli	$\gamma_{OT,sfav}$	1.50	1.35	1.35	1.15	1.00	1.00	1.00

Coeff. parziali per i parametri geotecnici del terreno

Parametro		Combinazioni statiche		Combinazioni sismiche	
		M1	M2	M1	M2
Tangente dell'angolo di attrito	$\gamma_{\tan(\phi')}$	1.00	1.25	1.00	1.00
Coesione efficace	$\gamma_{c'}$	1.00	1.25	1.00	1.00
Resistenza non drenata	γ_{cu}	1.00	1.40	1.00	1.00
Peso nell'unità di volume	γ_γ	1.00	1.00	1.00	1.00

Coeff. parziali γ_R per le verifiche agli stati limite ultimi STR e GEO

Verifica	Combinazioni statiche			Combinazioni sismiche		
	R1	R2	R3	R1	R2	R3
Capacità portante	--	--	1.40	--	--	1.20
Scorrimento	--	--	1.10	--	--	1.00
Resistenza terreno a valle	--	--	1.40	--	--	1.20
Ribaltamento	--	--	1.15	--	--	1.00
Stabilità fronte di scavo	--	1.10	--	--	1.20	--

Carichi verticali. Coeff. parziali γ_R da applicare alle resistenze caratteristiche

Resistenza		Pali infissi			Pali trivellati			Pali ad elica continua		
		R1	R2	R3	R1	R2	R3	R1	R2	R3
Punta	γ_b	--	--	1.15	--	--	1.35	--	--	1.30
Laterale compressione	γ_s	--	--	1.15	--	--	1.15	--	--	1.15
Totale compressione	γ_t	--	--	1.15	--	--	1.30	--	--	1.25
Laterale trazione	γ_{st}	--	--	1.25	--	--	1.25	--	--	1.25

Carichi trasversali. Coeff. parziali γ_R da applicare alle resistenze caratteristiche

		R1	R2	R3
Trasversale	γ_t	--	--	1.30

Coefficienti di riduzione ζ per la determinazione della resistenza caratteristica dei pali

Numero di verticali indagate 1

 $\zeta_3=1.70 \quad \zeta_4=1.70$

Descrizione combinazioni di carico

In particolare si sono considerate le seguenti combinazioni:

Simbologia adottata

γ Coefficiente di partecipazione della condizione
 Ψ Coefficiente di combinazione della condizione

Combinazione n° 1 - STR (A1-M1-R3)

Condizione	γ	Ψ	Effetto
Peso muro	1.00	--	Favorevole
Peso terrapieno	1.00	--	Favorevole
Spinta terreno	1.30	--	Sfavorevole
Traffico	1.35	1.00	Sfavorevole

Combinazione n° 2 - STR (A1-M1-R3) H + V

Condizione	γ	Ψ	Effetto
Peso muro	1.00	--	Favorevole
Peso terrapieno	1.00	--	Favorevole
Spinta terreno	1.00	--	Sfavorevole

Combinazione n° 3 - STR (A1-M1-R3) H - V

Condizione	γ	Ψ	Effetto
Peso muro	1.00	--	Sfavorevole
Peso terrapieno	1.00	--	Sfavorevole
Spinta terreno	1.00	--	Sfavorevole

Combinazione n° 4 - GEO (A2-M2-R2)

Condizione	γ	Ψ	Effetto
Peso muro	1.00	--	Sfavorevole
Peso terrapieno	1.00	--	Sfavorevole
Spinta terreno	1.00	--	Sfavorevole
Traffico	1.15	1.00	Sfavorevole

Combinazione n° 5 - GEO (A2-M2-R2) H + V

Condizione	γ	Ψ	Effetto
Peso muro	1.00	--	Sfavorevole
Peso terrapieno	1.00	--	Sfavorevole
Spinta terreno	1.00	--	Sfavorevole

Combinazione n° 6 - GEO (A2-M2-R2) H - V

Condizione	γ	Ψ	Effetto
Peso muro	1.00	--	Sfavorevole
Peso terrapieno	1.00	--	Sfavorevole
Spinta terreno	1.00	--	Sfavorevole

Combinazione n° 7 - SLER

Condizione	γ	Ψ	Effetto
Peso muro	1.00	--	Sfavorevole
Peso terrapieno	1.00	--	Sfavorevole
Spinta terreno	1.00	--	Sfavorevole
Traffico	1.00	1.00	Sfavorevole

Combinazione n° 8 - SLEF

Condizione	γ	Ψ	Effetto
Peso muro	1.00	--	Sfavorevole
Peso terrapieno	1.00	--	Sfavorevole
Spinta terreno	1.00	--	Sfavorevole
Traffico	1.00	0.75	Sfavorevole

Combinazione n° 9 - SLEQ

Condizione	γ	Ψ	Effetto
Peso muro	1.00	--	Sfavorevole
Peso terrapieno	1.00	--	Sfavorevole
Spinta terreno	1.00	--	Sfavorevole

Combinazione n° 10 - SLEQ H + V

Condizione	γ	Ψ	Effetto
Peso muro	1.00	--	Sfavorevole
Peso terrapieno	1.00	--	Sfavorevole
Spinta terreno	1.00	--	Sfavorevole

Combinazione n° 11 - SLEQ H - V

Condizione	γ	Ψ	Effetto
Peso muro	1.00	--	Sfavorevole
Peso terrapieno	1.00	--	Sfavorevole
Spinta terreno	1.00	--	Sfavorevole

Combinazione n° 12 - HYD

Condizione	γ	Ψ	Effetto
Peso muro	1.00	--	Favorevole
Peso terrapieno	1.00	--	Favorevole
Spinta terreno	1.00	--	Sfavorevole
Traffico	1.00	1.00	Sfavorevole

Combinazione n° 13 - UPL

Condizione	γ	Ψ	Effetto
Peso muro	0.90	--	Favorevole
Peso terrapieno	0.90	--	Favorevole
Spinta terreno	1.10	--	Sfavorevole
Traffico	1.50	1.00	Sfavorevole

Dati sismici

Comune	Stigliano
Provincia	Matera
Regione	Basilicata
Latitudine	40.376562
Longitudine	16.318928
Indice punti di interpolazione	35008 - 35230 - 35231 - 35009
Vita nominale	50 anni
Classe d'uso	III
Tipo costruzione	Normali affollamenti
Vita di riferimento	75 anni

	Simbolo	U.M.		SLU	SLE
Accelerazione al suolo	a_a	[m/s ²]		1.205	0.499
Accelerazione al suolo	a_d/g	[%]		0.123	0.051
Massimo fattore amplificazione spettro orizzontale	F0			2.536	2.451
Periodo inizio tratto spettro a velocità costante	Tc*			0.443	0.320
Tipo di sottosuolo - Coefficiente stratigrafico	Ss		E	1.600	1.600
Categoria topografica - Coefficiente amplificazione topografica	St		T2	1.200	

Stato limite ...	Coeff. di riduzione β_m	kh [%]	kv [%]
Ultimo	1.000	23.575	11.788
Ultimo - Ribaltamento	1.000	23.575	11.788
Esercizio	1.000	9.768	4.884

Forma diagramma incremento sismico **Rettangolare**

Opzioni di calcoloSpinta

Metodo di calcolo della spinta	Culmann
Tipo di spinta	Spinta attiva
Terreno a bassa permeabilità	NO
Superficie di spinta limitata	NO

Stabilità globale

Metodo di calcolo della stabilità globale	Bishop
---	--------

Altro

Partecipazione spinta passiva terreno antistante	0.00
Partecipazione resistenza passiva dente di fondazione	50.00
Componente verticale della spinta nel calcolo delle sollecitazioni	NO
Considera terreno sulla fondazione di valle	NO
Considera spinta e peso acqua fondazione di valle	NO
Calcolo percorso filtrazione nella verifica a sifonamento	Lane

Spostamenti

Modello a blocchi	
Non è stato richiesto il calcolo degli spostamenti	
Spostamento limite	3,00 [cm]

Opzioni calcolo paliPortanza verticale

Metodo di calcolo della portanza alla punta Meyerhof
 Metodo di calcolo della portanza alla laterale Integrazione delle tensioni tangenziali ($k_s \sigma_v \tan(\delta) + c_a$)
 Correzione angolo di attrito in funzione del tipo di palo (infisso/trivellato) Non attiva
 Andamento pressione verticale nel calcolo della portanza alla punta σ_v con la profondità Pressione geostatica
 Andamento pressione verticale nel calcolo della portanza laterale Pressione geostatica
 Applica coeff. parziale azione peso proprio palo e attrito negativo

Portanza trasversale

Costante di Winkler: da strato
 Criterio rottura palo-terreno
 - Spostamento limite Non attivo
 - Pressione limite Pressione passiva con moltiplicatore $M=3,00$
 - Palo infinitamente elastico Non attivo

Cedimenti

Metodo di calcolo Metodo agli elementi finiti
 Spostamento limite alla punta 1,00 [cm]
 Spostamento limite laterale 0,50 [cm]

Specifiche per le verifiche nelle combinazioni allo Stato Limite Ultimo (SLU)

	SLU	Eccezionale
Coefficiente di sicurezza calcestruzzo a compressione	1.50	1.00
Coefficiente di sicurezza acciaio	1.15	1.00
Fattore di riduzione da resistenza cubica a cilindrica	0.83	0.83
Fattore di riduzione per carichi di lungo periodo	0.85	0.85
Coefficiente di sicurezza per la sezione	1.00	1.00

Specifiche per le verifiche nelle combinazioni allo Stato Limite di Esercizio (SLE)**Paramento e fondazione muro**

Verifiche strutturali nelle combinazioni SLD eseguite. Struttura in classe d'uso III o IV

Condizioni ambientali Ordinarie
 Armatura ad aderenza migliorata SI

Verifica a fessurazione

Sensibilità armatura Poco sensibile
 Metodo di calcolo aperture delle fessure NTC 2018 - CIRCOLARE 21 gennaio 2019, n. 7 C.S.LL.PP.
 Calcolo momento fessurazione Formazione
 Resistenza a trazione per Flessione
 Valori limite aperture delle fessure:
 $w_1=0.20$
 $w_2=0.30$
 $w_3=0.40$

Verifica delle tensioni

Valori limite delle tensioni nei materiali:

Combinazione	Calcestruzzo	Acciaio
Rara	$0.60 f_{ck}$	$0.80 f_{yk}$
Frequente	$1.00 f_{ck}$	$1.00 f_{yk}$
Quasi permanente	$0.45 f_{ck}$	$1.00 f_{yk}$

Pali

Verifiche strutturali nelle combinazioni SLD SI. Struttura in classe d'uso III o IV

Condizioni ambientali Ordinarie
 Armatura ad aderenza migliorata SI

Verifica a fessurazione

Sensibilità armatura Poco sensibile
 Metodo di calcolo aperture delle fessure NTC 2018 - CIRCOLARE 21 gennaio 2019, n. 7 C.S.LL.PP.
 Calcolo momento fessurazione Apertura
 Resistenza a trazione per Trazione
 Valori limite aperture delle fessure:
 $w_1=0.20$
 $w_2=0.30$
 $w_3=0.40$

Verifica delle tensioni

Valori limite delle tensioni nei materiali:

Combinazione	Calcestruzzo	Acciaio
Rara	$0.60 f_{ck}$	$0.80 f_{yk}$
Frequente	$1.00 f_{ck}$	$1.00 f_{yk}$
Quasi permanente	$0.45 f_{ck}$	$1.00 f_{yk}$

Risultati

Spinta e forze

Simbologia adottata

Ic	Indice della combinazione
A	Tipo azione
I	Inclinazione della spinta, espressa in [°]
V	Valore dell'azione, espressa in [kg]
C _x , C _y	Componente in direzione X ed Y dell'azione, espressa in [kg]
P _x , P _y	Coordinata X ed Y del punto di applicazione dell'azione, espressa in [m]

Ic	A	V [kg]	I [°]	C _x [kg]	C _y [kg]	P _x [m]	P _y [m]
2	Spinta statica	4361	10,67	4285	807	1,35	-1,99
	Incremento di spinta sismica		3155	3101	584	1,35	-1,48
	Peso/Inerzia muro			2361	10016/1181	-0,24	-2,22
	Peso/Inerzia terrapieno			1156	4906/578	0,68	-0,99
	Peso dell'acqua sulla fondazione di valle				0	0,00	0,00
	Resistenza pali			-13114			

Verifiche geotecniche

Quadro riassuntivo coeff. di sicurezza calcolati

Simbologia adottata

Cmb	Indice/Tipo combinazione
S	Sisma (H: componente orizzontale, V: componente verticale)
FS _{SCO}	Coeff. di sicurezza allo scorrimento
FS _{RIB}	Coeff. di sicurezza al ribaltamento
FS _{OLIM}	Coeff. di sicurezza a carico limite
FS _{STAB}	Coeff. di sicurezza a stabilità globale
FS _{HYD}	Coeff. di sicurezza a sifonamento
FS _{UPL}	Coeff. di sicurezza a sollevamento

Cmb	Sismica	FS _{SCO}	FS _{RIB}	FS _{OLIM}	FS _{STAB}	FS _{HYD}	FS _{UPL}
1 - STR (A1-M1-R3)		1.647					
2 - STR (A1-M1-R3)	H + V	1.203					
3 - STR (A1-M1-R3)	H - V	1.285					
4 - GEO (A2-M2-R2)					5.645		
5 - GEO (A2-M2-R2)	H + V				3.323		
6 - GEO (A2-M2-R2)	H - V				3.029		
12 - HYD						100.000	
13 - UPL							100.000

Verifiche portanza trasversale (scorrimento)

Simbologia adottata

Ic	Indice/Tipo combinazione
Ip	Indice palo
T	Carico orizzontale agente alla testa del palo, espresso in [kg]
Td	Portanza trasversale di progetto, espresso in [kg]
FS ₀	Fattore di sicurezza (Td/T)

Ic	Ip	T [kg]	Td [kg]	FS ₀
2 - STR (A1-M1-R3) H + V	1	-14800	40490	2.736
	2	-14330	17395	1.214

Verifiche portanza verticale

Simbologia adottata

Ic	Indice/Tipo combinazione
Ip	Indice palo
N	Carico verticale agente alla testa del palo, espresso in [kg]
Pd	Portanza di progetto, espresso in [kg]
FS _v	Fattore di sicurezza (Pd/N)

Ic	Ip	N [kg]	Pd [kg]	FS _v
2 - STR (A1-M1-R3) H + V	1	-3668	131793	35.930
	2	46306	135608	2.929
3 - STR (A1-M1-R3) H - V	1	-8622	131793	15.286
	2	41642	135608	3.256

Dettagli calcolo portanza verticale

Simbologia adottata

n°	Indice palo
Nc, Nq	Coeff. di capacità portante
N'c, N'q	Coeff. di capacità portante corretti
Zc	Massima profondità andamento pressione geostatica, espressa in [m]
Pp, Pl	Portanza di punta e laterale caratteristica, espresse in [kg]
A	Attrito negativo, espresso in [kg]
Wp	Peso palo, espresso in [kg]

n°	Nc	N'c	Nq	N'q	Zc [m]	Pp [kg]	Pl [kg]	A [kg]	Wp [kg]
1	25.803	60.115	14.720	18.394	--	289070 233620	107877 93787	0	14137
2	25.803	60.115	14.720	18.394	--	289559 234057	107345 93371	0	14137

Verifica stabilità globale muro + terreno**Simbologia adottata**

Ic	Indice/Tipo combinazione
C	Centro superficie di scorrimento, espresso in [m]
R	Raggio, espresso in [m]
FS	Fattore di sicurezza

Ic	C	R	FS
	[m]	[m]	
6 - GEO (A2-M2-R2) H - V	-3,57; 3,57	18,32	3.029

Dettagli strisce verifiche stabilità**Simbologia adottata**

Le ascisse X sono considerate positive verso monte	
Le ordinate Y sono considerate positive verso l'alto	
Origine in testa al muro (spigolo contro terra)	
W	peso della striscia espresso in [kg]
Q _y	carico sulla striscia espresso in [kg]
Q _f	carico acqua sulla striscia espresso in [kg]
α	angolo fra la base della striscia e l'orizzontale espresso in [°] (positivo antiorario)
ϕ	angolo d'attrito del terreno lungo la base della striscia
c	coesione del terreno lungo la base della striscia espressa in [kg/cmq]
b	larghezza della striscia espressa in [m]
u	pressione neutra lungo la base della striscia espressa in [kg/cmq]
T _x ; T _y	Resistenza al taglio fornita dai tiranti in direzione X ed Y espressa in [kg/cmq]

Combinazione n° 6 - GEO (A2-M2-R2) H - V

n°	W	Qy	Qf	b	α	ϕ	c	u	Tx; Ty
	[kg]	[kg]	[kg]	[m]	[°]	[°]	[kg/cmq]	[kg/cmq]	[kg]
1	5356	0	0	14,43 - 1,38	71.986	16.000	0,00	0,000	
2	14419	0	0	1,38	60.731	28.000	0,60	0,260	
3	20279	0	0	1,38	52.764	28.000	0,60	0,467	
4	24726	0	0	1,38	46.098	28.000	0,60	0,623	
5	28280	0	0	1,38	40.174	28.000	0,60	0,746	
6	31174	0	0	1,38	34.735	28.000	0,60	0,844	
7	33540	0	0	1,38	29.638	28.000	0,60	0,922	
8	35466	0	0	1,38	24.789	28.000	0,60	0,985	
9	36951	0	0	1,38	20.124	28.000	0,60	1,033	
10	38554	0	0	1,38	15.595	28.000	0,60	1,073	
11	39298	0	0	1,38	11.165	28.000	0,60	1,102	
12	34891	0	0	1,38	6.802	28.000	0,60	1,120	
13	32150	0	0	1,38	2.478	28.000	0,60	1,127	
14	31871	0	0	1,38	-1.831	28.000	0,60	1,124	
15	31306	0	0	1,38	-6.151	28.000	0,60	1,110	
16	30449	0	0	1,38	-10.506	28.000	0,60	1,086	
17	29291	0	0	1,38	-14.924	28.000	0,60	1,051	
18	27801	0	47	1,38	-19.436	28.000	0,60	1,004	
19	25940	0	149	1,38	-24.078	28.000	0,60	0,945	
20	23701	0	260	1,38	-28.896	28.000	0,60	0,872	
21	21034	0	371	1,38	-33.951	28.000	0,60	0,784	
22	17859	0	482	1,38	-39.331	28.000	0,60	0,677	
23	14053	0	593	1,38	-45.170	28.000	0,60	0,548	
24	9400	0	704	1,38	-51.700	28.000	0,60	0,387	
25	3435	0	800	-19,99 - 1,38	-59.179	28.000	0,60	0,181	

Resistenza al taglio pali 0 [kg]

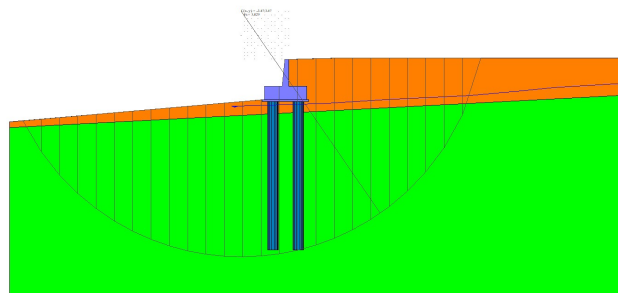


Fig. 7 - Stabilità fronte di scavo - Cerchio critico (Combinazione n° 6)

Verifica a sifonamento**Simbologia adottata**

Ic	Indice della combinazione
ΔH	perdita di carico, espressa in [m]
L	Lunghezza di filtrazione, espressa in [m]
γ_m	Peso galleggiamento medio, espressa in [kg/mc]
i_c	gradiente idraulico critico
i_e	gradiente idraulico di efflusso
FS	Fattore di sicurezza a sifonamento (rapporto tra i_c/i_e)

Ic	ΔH	L	γ_m	i_c	i_e	FS
	[m]	[m]	[kg/mc]			
12	99999,57	2,53	5839,46	5.839	0.000	100.000

Verifica a sollevamento

Simbologia adottata

As	Azione stabilizzante, espressa in [kg]
Ai	Azione instabilizzante, espressa in [kg]
Rp	Resistenza di progetto, espressa in [kg]
FS	Fattore di sicurezza a sollevamento (rapporto tra As/Ai)

Ic	As	Ai	FS
	[kg]	[kg]	
13	14583	0	100.000

Spostamenti

Simbologia adottata

Cmb Tipo combinazione

Modello a blocchi

X	Spostamento in direzione X (positivo verso monte), espresso in [cm]
Y	Spostamento in direzione Y (positivo verso l'alto), espresso in [cm]
Phi	Rotazione (positiva antioraria), espresso in [°]

Spostamenti ottenuti con il modello a blocchi

Cmb	X	Y	Phi
	[cm]	[cm]	[°]
2 - STR (A1-M1-R3) H + V	-0,42908	-0,05187	0,03700
3 - STR (A1-M1-R3) H - V	-0,42032	-0,04007	0,03721

Verifiche strutturali

Verifiche a flessione

Elementi calcolati a trave

Simbologia adottata

n°	indice sezione
B	larghezza sezione espresso in [cm]
H	altezza sezione espressa in [cm]
Afi	area ferri inferiori espresso in [cmq]
Afs	area ferri superiori espressa in [cmq]
M	momento agente espressa in [kgm]
N	sforzo normale agente espressa in [kg]
Mrd	momento resistente espresso in [kgm]
Nrd	sforzo normale resistente espresso in [kg]
FS	fattore di sicurezza (rapporto tra sollecitazione ultima e sollecitazione agente)

Elementi calcolati a piastra

Simbologia adottata

n°	indice sezione
Y	ordinata sezione espressa in [m]
B	larghezza sezione espresso in [cm]
H	altezza sezione espressa in [cm]
Afi, Afs	area ferri inferiori e superiori, espresso in [cmq]
Mp, Mn	momento positivo e negativo agente espressa in [kgm]
Mrd	momento resistente espresso in [kgm]
FS	fattore di sicurezza (rapporto tra sollecitazione ultima e sollecitazione agente)

Oggetto	Is	B	H	Afi	Afs	M	N	Mu	Nu	FS
		[cm]	[cm]	[cmq]	[cmq]	[kgm]	[kg]	[kgm]	[kg]	
Paramento	21	100	50	8,04	10,05	3000	2245	21224	15878	7.074
Piastra fondazione	9-4-S	100	100	14,07	14,07			-52917		5.331
Palo c.a. 1	1	80		56,55		17250	-8622	57718	-28848	3.346
Palo c.a. 2	1	80		22,81		18045	46306	62166	159526	3.445

Verifiche a taglio

Simbologia adottata

n° (o Is)	indice sezione
Y	ordinata sezione espressa in [m]
B	larghezza sezione espresso in [cm]
H	altezza sezione espressa in [cm]
A _{sw}	area ferri a taglio espresso in [cmq]
cotθ	inclinazione delle bielle compresse, θ inclinazione dei puntoni di calcestruzzo
V _{Rcd}	resistenza di progetto a 'taglio compressione' espressa in [kg]
V _{Rsd}	resistenza di progetto a 'taglio trazione' espressa in [kg]
V _{Rd}	resistenza di progetto a taglio espresso in [kg]. Per elementi con armature trasversali resistenti al taglio (A _{sw} >0.0) V _{Rd} =min(V _{Rcd} , V _{Rsd}).
T	taglio agente espressa in [kg]
FS	fattore di sicurezza (rapporto tra sollecitazione resistente e sollecitazione agente)

La verifica a taglio sui pali circolari in c.a. viene eseguita considerando una sezione quadrata inscritta nella circonferenza. Se D è il diametro del palo, il lato della sezione quadrata sulla quale si esegue la verifica è $L = 2^{0.5}/2 D$.

Oggetto	Is	B	H	A _{sw}	cotθ	V _{Rcd}	V _{Rsd}	V _{Rd}	T	FS
		[cm]	[cm]	[cmq]		[kg]	[kg]	[kg]	[kg]	
Paramento	21	100	50	0,00		0	0	20693	3764	5.497
Piastra fondazione	1-1-P	67	100	0,00		0	0	0	0	100.000
Palo 1	1	57		226,19	2.500	65173	48475	48475	14800	3.275
Palo 2	1	57		226,19	2.500	71063	69804	69804	14330	4.871

Verifica delle tensioni

Simbologia adottata

n°	indice sezione
Y	ordinata sezione, espressa in [m]
B	larghezza sezione, espresso in [cm]
H	altezza sezione, espressa in [cm]
Afi	area ferri inferiori, espresso in [cmq]
Afs	area ferri superiori, espressa in [cmq]
M	momento agente, espressa in [kgm]
N	sfuerzo normale agente, espressa in [kg]
σ_c	tensione di compressione nel cls, espressa in [kg/cmq]
σ_{fi}	tensione nei ferri inferiori, espressa in [kg/cmq]
σ_{fs}	tensione nei ferri superiori, espressa in [kg/cmq]

Combinazioni SLER

Oggetto	Is	B [cm]	H [cm]	Afi [cmq]	Afs [cmq]	σ_c [kg/cmq]	$\sigma_{c,lim}$ [kg/cmq]	σ_{fi} [kg/cmq]	σ_{fs} [kg/cmq]	$\sigma_{f,lim}$ [kg/cmq]
Paramento	21	100	50	8,04	10,05	4,86	152,34	174,04	52,73	3670,40
Piastra fondazione	9-4-S	100	100	14,07	14,07	6,55	152,34	80,71	470,81	3670,40
Piastra fondazione	11-9-S	100	100	14,07	14,07	2,22	152,34	159,56	27,35	3670,40
Palo c.a. 1	1	80		56,55		30,95	152,34	661,85		3670,40
Palo c.a. 2	1	80		22,81		40,15	152,34	679,21		3670,40

Combinazioni SLEF

Oggetto	Is	B [cm]	H [cm]	Afi [cmq]	Afs [cmq]	σ_c [kg/cmq]	$\sigma_{c,lim}$ [kg/cmq]	σ_{fi} [kg/cmq]	σ_{fs} [kg/cmq]	$\sigma_{f,lim}$ [kg/cmq]
Paramento	21	100	50	8,04	10,05	4,86	253,91	174,04	52,73	4588,00
Piastra fondazione	9-4-S	100	100	14,07	14,07	6,30	253,91	77,58	452,61	4588,00
Piastra fondazione	14-4-S	100	100	14,07	14,07	6,30	253,91	77,58	452,61	4588,00
Piastra fondazione	11-9-S	100	100	14,07	14,07	2,20	253,91	158,08	27,10	4588,00
Palo c.a. 1	1	80		56,55		29,41	253,91	604,59		4588,00
Palo c.a. 2	1	80		22,81		38,03	253,91	629,21		4588,00

Combinazioni SLEQ

Oggetto	Is	B [cm]	H [cm]	Afi [cmq]	Afs [cmq]	σ_c [kg/cmq]	$\sigma_{c,lim}$ [kg/cmq]	σ_{fi} [kg/cmq]	σ_{fs} [kg/cmq]	$\sigma_{f,lim}$ [kg/cmq]
Paramento	21	100	50	8,04	10,05	7,53	114,26	313,42	78,04	4588,00
Piastra fondazione	9-4-S	100	100	14,07	14,07	7,01	114,26	86,35	503,75	4588,00
Piastra fondazione	6-7-S	100	100	14,07	14,07	2,35	114,26	168,89	28,95	4588,00
Palo c.a. 1	1	80		56,55		33,48	114,26	835,83		4588,00
Palo c.a. 2	1	80		22,81		42,82	114,26	710,55		4588,00

Verifica a fessurazione

Simbologia adottata

n°	indice sezione
Y	ordinata sezione espressa in [m]
B	larghezza sezione espresso in [cm]
H	altezza sezione espressa in [cm]
Af	area ferri zona tesa espresso in [cmq]
Aeff	area efficace espressa in [cmq]
M	momento agente espressa in [kgm]
Mpf	momento di formazione/apertura fessure espressa in [kgm]
ϵ	deformazione espresso in %
Sm	spaziatura tra le fessure espressa in [mm]
w	apertura delle fessure espressa in [mm]

Combinazioni SLEF

Oggetto	Is	B [cm]	H [cm]	Af [cmq]	Aeff [cmq]	M [kgm]	Mpf [kgm]	ϵ [%]	Sm [mm]	w [mm]	w _{lim} [mm]
Paramento	21	100	50	10,05	950,00	1148	12477	0.000000	0	0,000	0,400
Piastra fondazione	9-4-S	100	100	14,07	950,00	-5851	-48176	0.000000	0	0,000	0,400
Palo 1	16	80		12,57	768,74	-410	14911	0.000000	0	0,000	0,400
Palo 2	17	80		7,60	799,43	-7	14697	0.000000	0	0,000	0,400

Combinazioni SLEQ

Oggetto	Is	B [cm]	H [cm]	Af [cmq]	Aeff [cmq]	M [kgm]	Mpf [kgm]	ϵ [%]	Sm [mm]	w [mm]	w _{lim} [mm]
Paramento	21	100	50	10,05	950,00	1778	12486	0.000000	0	0,000	0,300
Piastra fondazione	14-4-S	100	100	14,07	950,00	-6952	-48176	0.000000	0	0,000	0,300
Palo 1	17	80		12,57	757,02	1242	15108	0.000000	0	0,000	0,300
Palo 2	17	80		7,60	812,03	1186	14514	0.000000	0	0,000	0,300

Dichiarazioni secondo N.T.C. 2018 (punto 10.2)

Analisi e verifiche svolte con l'ausilio di codici di calcolo

Il sottoscritto, in qualità di calcolatore delle opere in progetto, dichiara quanto segue.

Tipo di analisi svolta

L'analisi strutturale e le verifiche sono condotte con l'ausilio di un codice di calcolo automatico. La verifica della sicurezza degli elementi strutturali è stata valutata con i metodi della scienza delle costruzioni.

Il calcolo dei muri di sostegno viene eseguito secondo le seguenti fasi:

- Calcolo della spinta del terreno
- Verifica a ribaltamento
- Verifica a scorrimento del muro sul piano di posa
- Verifica della stabilità complesso fondazione terreno (carico limite)
- Verifica della stabilità globale
- Calcolo delle sollecitazioni sia del muro che della fondazione, progetto delle armature e relative verifiche dei materiali.
- Calcolo della portanza assiale e trasversale dei pali. Progetto e verifica delle armature dei pali inseriti.

L'analisi strutturale sotto le azioni sismiche è condotta con il metodo dell'analisi statica equivalente secondo le disposizioni del capitolo 7 del D.M. 17/01/2018.

La verifica delle sezioni degli elementi strutturali è eseguita con il metodo degli Stati Limite. Le combinazioni di carico adottate sono esaustive relativamente agli scenari di carico più gravosi cui l'opera sarà soggetta.

Origine e caratteristiche dei codici di calcolo

Titolo	MAX - Analisi e Calcolo Muri di Sostegno
Versione	16.0
Produttore	Aztec Informatica srl, Casali del Manco - loc. Casole Bruzio (CS)
Utente	Ing. Durso Francesco
Licenza	AIU4461TQ

Affidabilità dei codici di calcolo

Un attento esame preliminare della documentazione a corredo del software ha consentito di valutarne l'affidabilità. La documentazione fornita dal produttore del software contiene un'esauriente descrizione delle basi teoriche, degli algoritmi impiegati e l'individuazione dei campi d'impiego. La società produttrice Aztec Informatica srl ha verificato l'affidabilità e la robustezza del codice di calcolo attraverso un numero significativo di casi prova in cui i risultati dell'analisi numerica sono stati confrontati con soluzioni teoriche.

Modalità di presentazione dei risultati

La relazione di calcolo strutturale presenta i dati di calcolo tale da garantirne la leggibilità, la corretta interpretazione e la riproducibilità. La relazione di calcolo illustra in modo esaustivo i dati in ingresso ed i risultati delle analisi in forma tabellare.

Informazioni generali sull'elaborazione

Il software prevede una serie di controlli automatici che consentono l'individuazione di errori di modellazione, di non rispetto di limitazioni geometriche e di armatura e di presenza di elementi non verificati. Il codice di calcolo consente di visualizzare e controllare, sia in forma grafica che tabellare, i dati del modello strutturale, in modo da avere una visione consapevole del comportamento corretto del modello strutturale.

Giudizio motivato di accettabilità dei risultati

I risultati delle elaborazioni sono stati sottoposti a controlli dal sottoscritto utente del software. Tale valutazione ha compreso il confronto con i risultati di semplici calcoli, eseguiti con metodi tradizionali. Inoltre sulla base di considerazioni riguardanti gli stati tensionali e deformativi determinati, si è valutata la validità delle scelte operate in sede di schematizzazione e di modellazione della struttura e delle azioni.

In base a quanto sopra, io sottoscritto asserisco che l'elaborazione è corretta ed idonea al caso specifico, pertanto i risultati di calcolo sono da ritenersi validi ed accettabili.

Stigliano, giugno 2022

Il progettista

(Ing. Francesco DURSO)

